

DOI: 10.13718/j.cnki.xdzk.2017.06.021

改进 DES 子密钥使用顺序的算法研究^①

刘海峰^{1,2}, 朱婧², 曹慧¹

1. 陕西科技大学 文理学院, 西安 710021; 2. 陕西科技大学 电气与信息工程学院, 西安 710021

摘要: 通过对 DES 算法进行分析, 针对 DES 易受穷举搜索等方法攻击的缺陷, 提出基于分组与哈希函数的改进方案. 该改进方案首先将明文与密钥进行异或, 然后根据分组结果或者哈希表查找比较次数, 结合仿射变换决定子密钥的使用顺序, 最后利用 RSA 加密子密钥的使用顺序. 该改进方案因为输入明文的不同而引起子密钥的使用顺序不同, 使得每次破解都需要 $16!$ 次穷举, 从而提高穷举搜索与选择明文攻击的难度, 提高 DES 算法的安全性.

关键词: 数据加密标准算法; 分组; 哈希函数; 仿射变换; RSA 算法; 子密钥顺序改进

中图分类号: TN918.4

文献标志码: A

文章编号: 1673-9868(2017)06-0135-06

20 世纪 70 年代初, IBM 在美国国家安全局(NSA)和美国国家标准局(NBS)的帮助与监督下开发出了数据加密标准(Data Encryption Standard, DES), 并被美国国家标准局确定为联邦信息处理标准(FIPS PUB 46), 得到广泛应用. DES 作为美国加密标准已经到期, 但在我国 DES 在 POS、ATM、智能卡(IC 卡)、加油站、高速公路收费站等领域现被广泛应用, 以此来实现关键数据的保密^[1].

Biham 和 Shamir 在 80 年代末提出差分密码分析, 对 DES 的攻击虽比蛮力搜索用时更少, 但攻击者很难获得足够的明文进行选择明文攻击, 只是理论上的突破, 并没有太大的实际意义; Matsui 在 90 年代早期提出线性密码分析, 它不再需要选择明文攻击, 但仍然很难获得足够的输入/输出对. 对 DES 最实用的攻击是穷举搜索, 主要是因为 DES 的密钥长度较短, 使得穷举搜索成为可能. 若能将 DES 的密钥空间拓展到穷举法也无法破译, 则理论上 DES 加密算法仍然是安全的^[2]. 二重 DES 将密钥长度增加到 112 位, 但容易遭受中间相遇攻击, 使有效密钥长度降为 56 位, 破译二重 DES 的难度为 2^{57} 量级^[3]. 针对 DES 易受穷举搜索攻击及二重 DES 易受中间相遇攻击的问题, 本文提出新的思路来改进 DES 的算法, 提高 DES 的安全性.

1 DES 简介

DES 是一种分组密码, 它以 64 位为分组长度^[4]. 64 位为一组的明文, 经过长度为 64 位的密钥进行加密(实际长度为 56 位, 其中第 8, 16, 24, 32, 40, 48, 56, 64 位为奇偶校验位, 可以忽略), 得到 64 位为一组的密文. DES 是一种对称密钥加密体制(私钥加密体制), 它使用同一组密钥对消息进行加密和解密^[5]; DES 同时是一种对称算法, 解密过程与加密过程相似, 解密过程可以使用加密过程的算法, 只不过密钥的使用顺序正好相反, 即当加密过程使用的密钥顺序为 $K_0 K_1 K_2 \cdots K_{14} K_{15}$, 解密过程的密钥使用顺序为 $K_{15} K_{14} \cdots K_2 K_1 K_0$. DES 公开了它的加密流程和具体实现步骤, 从它的整个体制可以看出, DES 分为 2 个部分: DES 加密部分和子密钥生成部分^[6], 密钥部分独立运行, 产生加密过程所需的子密钥然后作用于 DES.

1.1 DES 算法加密过程

DES 算法的加密过程经历了 3 个阶段, 如图 1 所示^[1].

① 收稿日期: 2017-03-02

基金项目: 国家自然科学基金(11301314); 陕西省自然科学基金(2014JQ1025).

作者简介: 刘海峰(1964-), 男, 陕西泾阳人, 副教授, 硕士, 主要从事计算机网络与信息安全及代数编码与密码学的研究.

1.1.1 初始置换 IP 与逆初始置换 IP⁻¹

根据 DES 公布的初始置换表与逆初始置换表可以看出,这 2 个过程的置换是互逆的.例如,初始置换 IP 把信息的第 2 位置换到第 8 位的位置,逆初始置换 IP⁻¹把经过加密的信息的第 8 位又置换到第 2 位,并形成最终的密文.初始置换 IP 与对应的逆初始置换 IP⁻¹并不影响 DES 的安全性. DES 这种置换结构的主要目的是为了更容易地将明文和密文数据以字节大小放入 DES 芯片中,但这种方式的置换软件实现很困难,对算法的安全性又没有影响,所以 DES 的许多软件实现方式删去了初始置换 IP 和逆初始置换 IP⁻¹[7].

1.1.2 乘积变换

乘积变换中包括 16 轮的迭代,每轮变换的逻辑关系为

$$\begin{cases} L_i = R_{i-1} \\ R_i = L_{i-1} \oplus F(R_{i-1}, K_{i-1}) \end{cases} \quad i = 1, 2, 3, \dots, 15, 16$$

F 变换包括 3 部分:扩展变换 E、选择压缩变换 S 盒代替、置换运算 P^[8].扩展变换 E 的目的是将 32 位右半部分数据变为 48 位,从而能够与 48 位密钥异或,并且提供了更长的结果使得 S 盒能够压缩.但它的主要目的是使输出对输入的依赖性传播得更快,产生雪崩效应^[7].其扩展变换 E 的变换表如表 1 所示.

表 1 扩展变换 E 的变换表

32	01	02	03	04	05
04	05	06	07	08	09
08	09	10	11	12	13
12	13	14	15	16	17
16	17	18	19	20	21
20	21	22	23	24	25
24	25	26	27	28	29
28	29	30	31	32	01

选择压缩变换 S 盒代替是整个 DES 中唯一的一个非线性部分,专门用来对抗差分密码分析(某种程度上)的^[9].将 48 位的输入分成 8 组,每组 6 位,6 位的数据进入对应 S 盒后变为 4 位,共 8 个 S 盒,所以 48 位输入经过 S 盒代替后产生 32 位的输出,其代替过程如图 2 所示.

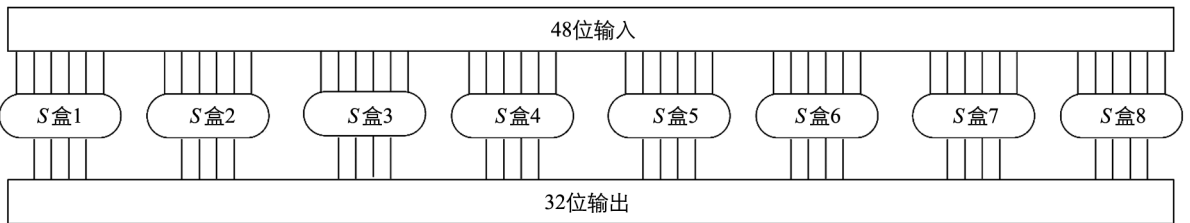


图 2 S 盒代替

置换运算 P 将 S 盒代替运算后的 32 位输出按照固定的置换 P 表进行置换,打乱原有次序进行重排,任一位不能映射 2 次,也不能被略去.置换运算 P 的定义如表 2 所示.

表 2 置换运算 P

16	7	20	21	29	12	28	17
1	15	23	26	5	18	31	10
2	8	24	14	32	27	3	9
19	13	30	6	22	11	4	25

多重 S 变换与 P 变换组成 S-P 网络. S 变换的目的是起到混淆作用,使密文与明文的统计关系尽可能的复杂,实现小块的非线性变换; P 变换的目的是起到扩散作用,使明文的每一位尽可能影响密文的多位,从而达到“雪崩效应”,实现大块的非线性变换. S-P 网络实现了很好的非线性化和雪崩效应.

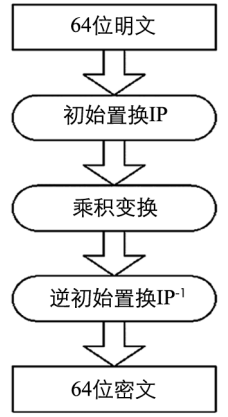


图 1 DES 加密处理图

1.2 子密钥生成部分

输入的 64 位密钥剔除 8 个奇偶校验位, 剩下的 56 位, 经过置换选择 1 后被分成 C_0 和 D_0 两部分, 各 28 位, C_0 为置换选择 1 的前两行, D_0 为置换选择 1 的后两行. 原密钥的第 1 位经过置换选择 1 后变为 C_0 的第 8 位. 原密钥有意义的最后一位第 63 位经过置换选择 1 后变为 D_0 的第 1 位. 置换选择 1 如表 3 所示.

表 3 置换选择 1

57	49	41	33	25	17	9	1	58	50	42	34	26	18
10	2	59	51	43	35	27	19	11	3	60	52	44	36
63	55	47	39	31	33	15	7	62	54	46	38	30	22
14	6	61	53	45	37	29	21	13	5	28	20	12	4

C_0, D_0 分别按表 4 进行第一轮循环左移, 得到 C_1, D_1 , 将得到的 C_1, D_1 按表 5 进行置换选择 2 变换得到 48 位的密钥 K_0 , 同时将 C_1, D_1 按表 4 进行第二轮的循环左移, 得到 C_2, D_2 , 将得到的 C_2, D_2 按表 5 进行置换选择 2 变换得到 48 位的密钥 K_1 , 按照此方法, 直至得到加密所需的 16 个子密钥 $K_0 K_1 K_2 \cdots K_{14} K_{15}$. DES 中 C_i, D_i 循环左移的总位数分别为 28 位, 所以经过 1 轮 DES 加密后密钥正好经过一个轮回.

表 4 循环左移

轮序	1	2	3	4	5	6	7	8	9	10	11	12	13	14	15	16
移位数	1	1	2	2	2	2	2	2	1	2	2	2	2	2	2	1

表 5 置换选择 2

14	17	11	24	1	5
3	28	15	6	21	10
23	19	12	4	26	8
16	7	27	20	13	2
41	52	31	37	47	55
30	40	51	45	33	48
44	49	39	56	34	53
46	42	50	36	29	32

2 DES 算法安全性分析

DES 的加密流程和具体实现步骤公开, 只要密钥不变, 不管加密的明文是什么, 它的加密过程都完全相同, 这样攻击者就可以通过穷举搜索、选择明文等方法对 DES 进行攻击. DES 的不安全性与它的内部结构和设计是无关的^[9], 造成 DES 的不安全性的一个重要原因是 DES 的密钥长度太短了, 只有 64 位(实际上为 56 位), 密钥空间大小为 2^{56} . 随着计算机运算能力的提高, 采用暴力攻击的方法对 DES 进行破译已经不是难事. 通常改进的方法有: 多重 DES、使用独立子密钥的 DES、一次一密等. 一次一密被认为是一种不可攻破的密码系统^[10], 如果已知一段明文, 可以找出相对应的密钥, 但这一段密钥对以后密文的破解没有任何用处, 因为密钥序列中任意两项是相互独立的^[11]. 一次一密的加密效果虽然很好, 但存在密钥太长, 生成的代价太大的问题.

针对一次一密存在的问题, 提出通过明文与密钥共同决定 DES 子密钥的使用顺序, 使得即使密钥相同, 不同明文加密, DES 子密钥的使用顺序不同, 以此来提高 DES 抗攻击的能力.

3 改进方案及示例

3.1 子密钥加密顺序改进方案 1 及示例

3.1.1 改进方案 1 的步骤

- 1) 输入 64 位明文 M , 并将 64 位明文与 64 位密钥 K 进行异或, 得到 64 位数据 C .
- 2) 将得到的 64 位二进制数据 C , 每 4 位进行分组, 得到 16 个大小在 0~15 之间的数据 C_i (i 为 0~15).

3) 令原子密钥的顺序为: $K_0K_1K_2\cdots K_{14}K_{15}$, 采用下面的算法对子密钥的顺序进行交换, 若 C_i (i 为 $0\sim 15$) 的值为 j , 选定参数 B , 计算 $B * i + j$ 的值(当 $B = 1$ 时, 由仿射变换退化到移位操作), 为了避免 $B * i + j$ 的值大于 15, 再采用模 16 求余以确保 $B * i + j$ 的值在 $0\sim 15$ 之间, 将 K_i 的值与 $K_{(B * i + j) \% 16}$ 进行交换.

4) 按照改进后的子密钥顺序进行 DES 加密.

5) 由于解密的需要, 将变换后的子密钥顺序的下标序列作为明文进行加密(可以利用接收方的公钥进行 RSA 加密), 并与密文一起传送给接收方.

6) 解密时接收方利用 RSA 私钥对子密钥顺序的下标序列密文进行解密, 得到变换后的子密钥顺序的下标序列的明文, 执行 DES 的逆过程即可得到明文.

3.1.2 示例说明子密钥变换过程

1) 选取明文 $M = 00000001\ 00100011\ 01000101\ 01100111\ 10001001\ 10101011\ 11001101\ 11101111$. 选取密钥 $K = 00010011\ 00110100\ 01010111\ 01111001\ 10011011\ 10111100\ 11011111\ 11110001$. 将明文 M 与密钥 K 进行异或得到数据 $C = 00010010\ 00010111\ 00010010\ 00011110\ 00010010\ 00010111\ 00010010\ 00011110$.

2) 将二进制数据 C 每 4 位进行分组, 得到 16 个十进制数值为 $\{1, 2, 1, 7, 1, 2, 1, 14, 1, 2, 1, 7, 1, 2, 1, 14\}$.

3) 令 $B = 1$. 根据上面序列, $C_0 = 1$ 所以 K_0 与 K_1 交换, 经过一次交换子密钥的顺序为: $K_1K_0K_2K_3K_4K_5K_6K_7K_8K_9K_{10}K_{11}K_{12}K_{13}K_{14}K_{15}$; 同理 $C_1 = 2$ 所以 K_1 与 K_3 交换, 经过二次交换子密钥的顺序为: $K_3K_0K_2K_1K_4K_5K_6K_7K_8K_9K_{10}K_{11}K_{12}K_{13}K_{14}K_{15}$; 以此类推, 经过 16 次交换后, 子密钥的顺序为: $K_{11}K_0K_2K_1K_6K_4K_5K_7K_{10}K_8K_3K_9K_{14}K_{12}K_{13}K_{15}$.

4) 按此改进后的子密钥的顺序 $K_{11}K_0K_2K_1K_6K_4K_5K_7K_{10}K_8K_3K_9K_{14}K_{12}K_{13}K_{15}$ 进行 DES 加密.

5) 改进后的子密钥顺序的下标序列为 $11, 0, 2, 1, 6, 4, 5, 7, 10, 8, 3, 9, 14, 12, 13, 15$, 对这个序列利用接收方的公钥(假设公钥 $PK = \{3, 33\}$)进行 RSA 加密, 得到的密文为 $11, 0, 8, 1, 18, 31, 26, 13, 10, 17, 27, 3, 5, 12, 19, 9$, 以便解密时使用.

6) 解密时接收方利用 RSA 私钥(相对应的私钥 $SK = \{7, 33\}$)对子密钥顺序的下标序列密文进行解密, 得到变换后的子密钥顺序的下标序列的明文为 $11, 0, 2, 1, 6, 4, 5, 7, 10, 8, 3, 9, 14, 12, 13, 15$, 即子密钥的顺序为 $K_{11}K_0K_2K_1K_6K_4K_5K_7K_{10}K_8K_3K_9K_{14}K_{12}K_{13}K_{15}$, 执行 DES 的逆过程即可得到明文.

3.2 子密钥加密顺序改进方案 2 及示例

3.2.1 改进方案 2 的步骤

1) 输入 64 位明文 M , 并将 64 位明文与 64 位密钥 K 进行异或, 得到 64 位数据 C .

2) 将得到的 64 位二进制数据 C , 每 4 位进行分组, 得到 16 个大小在 $0\sim 15$ 之间的数据 C_i (i 为 $0\sim 15$).

3) 利用哈希函数和线性探测处理冲突的方法将数据 C_i 放入哈希表中, 根据按顺序放数据 $C_0C_1C_2\cdots C_{14}C_{15}$ 时所进行的地址计算次数(或者说是查找数据 $C_0C_1C_2\cdots C_{14}C_{15}$ 时所进行的关键数比较次数), 得到 16 个十进制数据 $\{A_0, A_1, A_2, \dots, A_{14}, A_{15}\}$.

4) 令原子密钥的顺序为: $K_0K_1K_2\cdots K_{14}K_{15}$, 采用下面的算法对子密钥的顺序进行交换, 若 A_i (i 为 $0\sim 15$) 的值为 j , 选定参数 B , 计算 $B * i + j$ 的值(当 $B = 1$ 时, 由仿射变换退化到移位操作), 为了避免 $B * i + j$ 的值大于 15, 再采用模 16 求余以确保 $B * i + j$ 的值在 $0\sim 15$ 之间, 将 K_i 的值与 $K_{(B * i + j) \% 16}$ 进行交换.

5) 按照改进后的子密钥顺序进行 DES 加密.

6) 由于解密的需要, 将变换后的子密钥顺序的下标序列作为明文进行加密(可以利用接收方的公钥进行 RSA 加密), 并与密文一起传送给接收方.

7) 解密时接收方利用 RSA 私钥对子密钥顺序的下标序列密文进行解密, 得到变换后的子密钥顺序的下标序列的明文, 执行 DES 的逆过程即可得到明文.

3.2.2 示例说明子密钥变换过程

1) 选取明文 $M = 00000001\ 00100011\ 01000101\ 01100111\ 10001001\ 10101011\ 11001101\ 11101111$. 选取密钥 $K = 00010011\ 00110100\ 01010111\ 01111001\ 10011011\ 10111100\ 11011111\ 11110001$. 将明文 M 与密钥 K 进行异或得到数据 $C = 00010010\ 00010111\ 00010010\ 00011110\ 00010010\ 00010111\ 00010010\ 00011110$.

2) 将二进制数据 C 每 4 位进行分组, 得到 16 个十进制数值 $G = \{1, 2, 1, 7, 1, 2, 1, 14, 1, 2, 1, 7, 1, 2, 1, 14\}$.

3) 采用除留余数法构造哈希函数, 待散列数据的长度为 16, 令哈希表长度 m, p 均为 17, 则哈希函数为: $H(G_i) = G_i \% 17 (i = 0, 1, 2, \dots, 15)$, 当发生冲突时采用线性探测再散列法处理冲突, 得到如表 6 所示的哈希表. 按顺序查找 16 个十进制数值所进行的比较次数为 $A = \{1, 1, 3, 1, 4, 4, 6, 1, 8, 8, 10, 5, 12, 12, 15, 3\}$. 其中, 地址比较次数的范围为 1~16.

表 6 哈希表

地址	0	1	2	3	4	5	6	7	8	9	10	11	12	13	14	15	16
待散列元素		1	2	1	1	2	1	7	1	2	1	7	1	2	14	1	14
比较次数		1	1	3	4	4	6	1	8	8	10	5	12	12	1	15	3

4) 令 $B = 1$. 根据上面序列, $A_0 = 1$ 所以 K_0 与 K_1 交换, 经过一次交换子密钥的顺序为: $K_1 K_0 K_2 K_3 K_4 K_5 K_6 K_7 K_8 K_9 K_{10} K_{11} K_{12} K_{13} K_{14} K_{15}$; 同理 $A_1 = 1$ 所以 K_1 与 K_2 交换, 经过二次交换子密钥的顺序为: $K_2 K_0 K_1 K_3 K_4 K_5 K_6 K_7 K_8 K_9 K_{10} K_{11} K_{12} K_{13} K_{14} K_{15}$; 以此类推, 经过 16 次交换后, 子密钥的顺序为: $K_1 K_{12} K_{14} K_7 K_3 K_{15} K_8 K_{11} K_{10} K_5 K_4 K_0 K_6 K_9 K_{13} K_2$.

5) 按此改进后的子密钥的顺序 $K_1 K_{12} K_{14} K_7 K_3 K_{15} K_8 K_{11} K_{10} K_5 K_4 K_0 K_6 K_9 K_{13} K_2$ 进行 DES 加密.

6) 改进后的子密钥顺序的下标序列为 1, 12, 14, 7, 3, 15, 8, 11, 10, 5, 4, 0, 6, 9, 13, 2, 对这个序列利用接收方的公钥 (假设公钥 $PK = \{3, 33\}$) 进行 RSA 加密, 得到的密文为 1, 12, 5, 13, 27, 9, 17, 11, 10, 26, 31, 0, 18, 3, 19, 8, 以便解密时使用.

7) 解密时接收方利用 RSA 私钥 (相对应的私钥 $SK = \{7, 33\}$) 对子密钥顺序的下标序列密文进行解密, 得到变换后的子密钥顺序的下标序列的明文为 1, 12, 14, 7, 3, 15, 8, 11, 10, 5, 4, 0, 6, 9, 13, 2, 即子密钥的顺序为 $K_1 K_{12} K_{14} K_7 K_3 K_{15} K_8 K_{11} K_{10} K_5 K_4 K_0 K_6 K_9 K_{13} K_2$, 执行 DES 的逆过程即可得到明文.

4 算法分析

求证: 这种改进 DES 方式是有效的.

证明: DES 分为 2 个部分, DES 加密部分和子密钥生成部分, 子密钥生成部分与 DES 加密部分相互独立, 由密钥生成 16 个子密钥, 并参与到 DES 加密过程中. 这种改进都只是改变子密钥的使用顺序, 而不影响 DES 加密过程, 保留了 DES 的内部结构和设计. DES 的加密效果只取决于 DES 变换本身, 与输入无关, 因此使用该方法进行改进后的 DES 仍然具有原 DES 所具有的雪崩效应和变化均匀性, 这种改进 DES 方式是有效的.

求证: 这种改进 DES 方式攻击的难度上升.

证明: 改进 DES 加密使用的子密钥的顺序不仅与密钥有关还与明文有关, 随着输入明文的的不同即使密钥没变, 子密钥的使用顺序也发生改变. 攻击者在攻击时, 不仅需要知道密钥, 还需要知道密钥的使用顺序, 而密钥的使用顺序有 2 个获取途径: ①对发送方经过 RSA 加密后的子密钥使用顺序进行解密; ②密钥与明文进行异或, 按照发送方子密钥使用顺序的产生过程, 攻击者自己产生发送方的子密钥使用顺序. 对于第一种方法, 攻击者需要知道接收方的私钥, 而 RSA 的安全性是基于大数因子分解, 由于大数因子分解在数学上没有行之有效的算法, 因此该加密技术的破译是相当困难的^[5]. 对于第二种方法也很难实现, 攻击者无法知道明文, 并且攻击者同样无法知道密钥的使用顺序是如何产生的. 所以从理论上这种改进 DES 方法攻击的难度上升. 并且每次随着输入明文的的不同子密钥的使用顺序发生变化, 每次都要进行 16! 次穷举, 所以对于攻击者来说这种改进 DES 方法从操作上难度上升了, 对它进行攻击的代价也随之上升.

5 总 结

DES 具有很好的内部结构与设计,它的不安全性主要是易受穷举搜索攻击.本文提出了 2 种改变子密钥使用顺序的方法,随着输入明文的不同即使密钥相同,子密钥使用顺序也不同,使得每次破解都需要 $16!$ 次穷举,从而在 DES 原有破解难度的基础上,提高了穷举搜索攻击与选择明文攻击的难度,提高了 DES 的安全性.改进的 DES 方式采用 RSA 加密子密钥的使用顺序,进一步提高了 DES 的安全性,使其能够更有效地保护数据.

参考文献:

- [1] 胡向东,魏琴芳.应用密码学 [M].北京:电子工业出版社,2006.
- [2] 盛利元,张 卿,孙克辉,等.一种基于混沌映射的 DES 密钥空间拓展方法 [J].通信学报,2005,26(4):122-124,141.
- [3] 李海峰,马海云,徐燕文.现代密码学原理及应用 [M].北京:国防工业出版社,2013:97-100.
- [4] 谢志强,高鹏飞,杨 静.基于前缀码的 DES 算法改进研究 [J].计算机工程与应用,2009,45(9):92-94,119.
- [5] 潘立登,盛乃军.网络通信中的基本安全技术 [J].电子技术应用,2000,26(3):4-7.
- [6] 邱伟星,李 钦,许金莲,等.一种 DES 组合算法 [J].南京邮电大学学报(自然科学版),2011,31(5):83-86,96.
- [7] SCHNEIER B.应用密码学:协议、算法与 C 源程序 [M].吴世忠,祝世雄,张文政,译.2 版.北京:机械工业出版社,2014:191-196.
- [8] 段博佳,袁家斌,杨 婕,等.分组加密算法的并行量子搜索攻击的研究 [J].小型微型计算机系统,2011,32(9):1908-1912.
- [9] KATZ J, LINDEU Y.现代密码学:原理与协议 [M].任 伟,译.北京:国防工业出版社,2011:110-116.
- [10] TRAPPE W, WASHINGTON L C.密码学与编码理论 [M].王全龙,王鹏,林昌露,译.2 版.北京:人民邮电出版社,2008.
- [11] 张福泰,李继国,王晓明,等.密码学教程:信息安全系列教材 [M].武汉:武汉大学出版社,2006.

Research of Improving the Algorithm of DES Subkey Usage Order

LIU Hai-feng^{1,2}, ZHU Jing², CAO Hui¹

1. School of Arts & Sciences, Shaanxi University of Science & Technology, Xi'an 710021, China;

2. School of Electrical & Information Engineering, Shaanxi University of Science & Technology, Xi'an 710021, China

Abstract: The data encryption standard (DES) is liable to suffer from exhaustive attack. Through DES algorithm analysis, this paper puts forward two improved schemes based on grouping and Hash function to solve the defect. First, exclusive OR (XOR) is performed on the plaintext and the key. Then, according to the grouping result or the comparison times in Hash table lookup, and combined with affine transformation, the improved algorithms determine the subkey order. Finally, RSA is used to encrypt the subkey order. With the proposed algorithms, different input plaintexts cause different subkey orders, so every crack needs $16!$ exhaustive searches. Consequently, the ability to resist exhaustive attack and chosen plaintext attack is improved and the security of DES algorithm is enhanced.

Key words: data encryption standard (DES) algorithm; grouping; Hash function; affine transformation; RSA algorithm; improvement of the subkey order

